УДК 534.1

О ДИНАМИКЕ ДВИЖЕНИЯ ПРОМЫШЛЕННОГО МАНИПУЛЯТОРА ТИПА «ЦИКЛОН» С УЧЕТОМ ЕГО УПРУГИХ СВОИСТВ

ГУКАСЯН А. А., ГРУДЕВ А. И.

При исследовании движения манипуляторов обычно используется механическая модель абсолютно твердых тел. Однако в ряде случаец упругость конструкции манинулятора существенно влияет на гочность выполнения рабочих операций и должна учитываться при разработке системы управления.

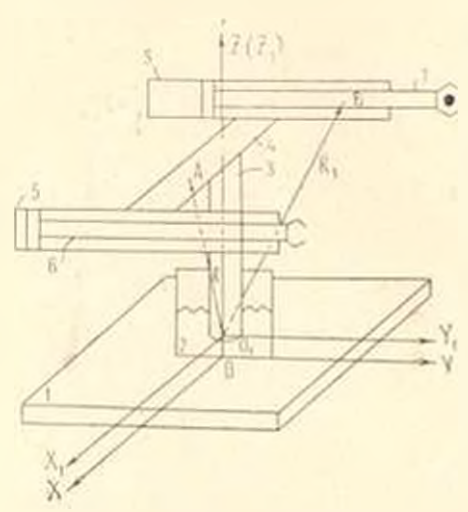
В последнее время появился ряд работ советских и зарубежных авторов, посвященных проблемам упругей податливости манипуляторов [1--9]. Экспериментальные исследования упругих характеристик промышленных роботов, выполненные в Институте проблем механики АН СССР, показали, что основное влияние на точность позиционирования рабочего органа (схвата) оказывает упругая податливость шарширов, соединительных узлов конструкции манипулятора [8, 9]. В настоящей работе исследуется влияние упругой податливости соединительного узла на динамические характеристики промышленного робота типа «Циклон».

1. Рассматривается механическая модель манинулятора с тремя степенями свободы, кинематическая схема которого близка к схеме промышленного робота «Циклон» (фиг. 1). Манинулятор состоит из неподвижного основания 1, стойки 2, вертикально ориентированного вала 3, горизонтально ориентированного плеча 4, направляющих цилиндров 5, неподвижной стрелы 6, подвижной стрелы 7 со схватом. Направляющие цилиндры жестко связаны с валом посредством плеча Основание, стойка, вал, плечо, направляющие цилиндры и стрелы считаются абсолютно твердыми телами. Стрела 6 может без трения перемещаться в горизонтальном направляющем цилиндре. Соедивительный узел между стойкой и валом, допускающий перемещение вала в вертикальном направлении, обладает упругой податливостью. Манинулятор имеет три степени подвижности, отвечающие перемещению пала в вертикальном направляении, его повороту вокруг вертикальной оси и перемещению стрелы вдоль направляющей

Для описания движения рассматриваемой механической системы введем следующие прямоугольные правые системы координат: OXYZ, связанную с неподвижным основанием, ось OZ которой совпадает с осью вращения вала 3; вращающуюся систему координат $O_1X_1Y_1Z_1$, ось O_1Z_1 которой совпадает с осью вращения вала, а оси O_1X_1 и O_1Y_1

go

связаны с подвижным валом и лежат в плоскости, перпепликулярной к оси вращения.



Фиі 1 Кинематической слемо промышленного робота «Циклон».

Указанным выше степеням подвижности соответствуют обобщенные координаты: z(t) -расстояние межлу точками O и O_1 , $\gamma(t)$ -угол новорота вала вокруг оси OZ, I(t) -расстояние от центра масс стрелы 7 до плоскости $O_1X_1Z_1$.

Управление системой осуществляется при помощи момента АІ отпосительно оси врящения нала, силы вертикально направленной и приложенной к валу, и силы приложенной к стреле и паправленной вдоль ее продольной оси.

Введем следующие обозначения *т* суммарная масса системы: вал. плечо, направляющие цилипдры, неподвижная стрела 6; *т*, —

масса стрелы 7: R -радиус-вектор центра масс системы 3—6 (точка A), заданный в системе R_1 —радиус-вектор центра масс стрелы (точка B), заданный в той же системе координат; c—жест-кость соединительного узла, z(t) и 3(t)—углы поворота системы 3-7, обусловленные упругой податливостью узла, относительно осей OX и OY соответственно; I—суммарный момент инерции системы 3-6 относительно начала координат I'—момент инерции стрелы 7 относительно ее центра масс B; ω —вектор мгновенной угловой скорости системы 3-6 в проекциях на оси координат системы $O_1X_1Y_1Z_1$.

Матрица перехода от системы координат OXYZ к системе координат $O_1X_1Y_3Z_1$ имеет вид

В неинерцияльной системе координат $O_1X_1Y_1Z_1$ векторы ω_i R_i имеют следующие координатные представления:

$$\begin{pmatrix} P \\ V \\ r \end{pmatrix} = \begin{pmatrix} -\sin\beta \varphi + \alpha \\ \sin\alpha\cos\rho + 1\cos2\theta \\ \cos\alpha\cos\beta + -\sin\alpha\theta \end{pmatrix}, \quad R = \begin{pmatrix} r_{11} \\ r_{21} \\ r_{41} \end{pmatrix}; \quad R_{11} = \begin{pmatrix} a \\ l(t) \\ b \end{pmatrix}$$
 (1.1)

Точка в (1.1) и в дальнейшем означает производную по иремени /.

Кинетическую энергию системы 3—6 с учетом (1.1) можно предстанить в следующем ниде [10]:

$$T_1 = \frac{m \, v_1}{2} + \frac{1}{2} (\omega, J_{\omega}) = \frac{m}{2} (v_0 + \omega \times R)^2 - \frac{1}{2} (\omega, J_{\omega})$$
 (1.2)

где v_{0} —скорость точки O_1 в системе OXYZ. J—тензор инерции системы 3-6 относительно точки A.

Кинетическая энергия движения стролы 7 имеет следующий вид:

$$T_2 = \frac{m_1 v_R}{2} + \frac{1}{2} (\omega, J'\omega) = \frac{m_1}{2} (v_{0_1} + R_1 + \omega \times R_1)^2 + \frac{1}{2} (\omega, J \omega)$$
 (1.3)

Полная потенциальная энергия рассматриваемой механической системы равна сумме потенциальных энергий сил тяжести и упругих сил, обусловленных упругой податливостью соединительного узла

$$\Pi = (m_1 + m)gz + m_1gr_{y_1}\sin\alpha - mgl\sin\alpha - (mr_{x_1} + m_1a)g\sin\beta - \frac{c}{2}(2^1 + \beta^2) \quad (1.4)$$

Предполагается, что углы поворота a(t) и $\theta(t)$, обусловленные упругой податливостью соединительного узла, суть малые величины порядка a^{-1} , жесткость узла велика (порядка a^{-2} , a(t)), а управляющий момент M(t), силы $F_1(t)$, $F_2(t)$ —величины порядка единицы.

Поставим следующую залачу управления системой 3-7. Пусть залав закон изменения $\varphi(t)$, z(t), l(t) для жесткой модели манипулятора, который реализуется двигателями. Таким образом, управление задано кинематически. Требуется найти движение упругого манипулятора, а также управляющие силы $F_1(t)$ и $F_2(t)$ и момент M(t), обеспечивающие заданные $(\varphi(t), z(t), l(t))$ движения для упругого манипулятора.

Уравнения колебания стрелы 7 манипулятора, составленные в форме Лагранжа [10], относительно переменных $\alpha(t)$ и $\beta(t)$ с учетом вищеуказанных предположений о малости $\alpha(t)$ и $\beta(t)$ можно представить в следующием матричном виде:

$$\frac{d}{dt} [A(t)\Psi'(t)] + C\Psi(t) + B(t) = 0$$
 (1.5)

где A(t)—симметрическая матрина размерности 2×2 . C—диагональная матрина жесткости соединительного узла:

$$C = \begin{pmatrix} c & 0 \\ 0 & c \end{pmatrix}$$
; $\Psi(t)$; $\Psi(t)$; $B(t)$ — векторы с компонентами
$$\Psi(t) = \begin{pmatrix} \alpha(t) \\ \beta(t) \end{pmatrix}$$
; $\dot{\Psi}(t) = \begin{pmatrix} \dot{\alpha}(t) \\ \dot{\beta}(t) \end{pmatrix}$; $B(t) = \begin{pmatrix} b_1(t) \\ b_2(t) \end{pmatrix}$ (1.6)

гле компоненты вектора B(t) являются заданными и определяющимися на динамики жесткой модели манипулятора.

Для решения уравнения (1.5) сделаем следующую замену переменных:

$$\Psi(t) = \varepsilon^2 \Psi_*(t), \quad C = \varepsilon \quad C \qquad \varepsilon \ll 1 \tag{1.7}$$

где $\Psi_*(t) \sim 1$, $C_* \sim 1$; а также введем "быстрое" время $t = \varepsilon \tau$, $t \sim 1$. Подставляя (1.7) в (1.5), получим

$$\frac{d}{dt} [A(t) \epsilon^2 \dot{\Psi}_*(t)] + C_* \Psi_*(t) + B(t) = 0$$
 (1.8)

Решения уравнения (1.8) в первом приближении ищем согласно [1] в виде

$$\Psi_s = \Psi_o(t) + \Theta(\tau) \tag{1.9}$$

Слагаемое $\Psi_{\phi}(t)$ описывает медленно изменяющиеся квазистатические смещения, для которых характерное время изменения порядка единицы, то есть порядка времени выполнения операции манипулятора. Быстро изменяющееся слагаемое $\Theta(\tau)$ описывает упругие колебания стрелы, частота которых порядка ϵ^{-1} . Подставим (1.9) в уравнение (1.8) и, опуская члены порядка $o(\epsilon^{4})$, получим

$$\{C_*\overline{\Psi}_*(t)+B(t)\}+\left|\frac{d}{d\tau}\left[A(t)\frac{d}{d\tau}\Theta(\tau)\right]+C_*\Theta(\tau)\right]=0$$
 (1.10)

Первые фигурные скобки в (1.10) заключают выражения, не зависящие от та вторые скобки объединяют быстрые слагаемые, зависящие от та Потребуем, чтобы каждое из выражений в фигурных скобках (1.10) равиялось пулю. При этом используется произвол, который содержится в представлении решения в виде (1.9), так что оба слагаемых (1.9) определяются однозначно.

Приравинвая нулю выражение в первых фигурных скобках (1.10), получим

$$\overline{\Psi}_{\pm}(t) = -C_{\pm}^{-1}B(t)$$
 (1.11)

Выражение (1.11) определяет кназнетатические упругие смещения стрелы маницулятора.

Приравнивая пулю выражение во вторых фигурных скобках (1.10), получим урависиие

$$\frac{d}{d\tau} \left[A(t) \frac{d}{d\tau} \Theta(\tau) \right] + C_s \Theta(\tau) = 0 \tag{1.12}$$

Система дифферсициальных уравнений (1.12) описывает колебания механической системы с медленно изменяющимися параметрами. Такие системы исследовались при помощи асимптотического метода усреднения [11]. Асимптотическое решение гервого приближения системы (1.12) представляется в виде разложения по пормальным колебаниям [1.2].

Собственные частоты колебаний системы (1.12) определяются решением характеристического уравнения

$$\det[C_{\pm} - \omega^2 A(t)] = 0 \tag{1.13}$$

Уравнение (1.13) имеет два положительных кория

$$\mathbf{w}_{1} = \left[c(a_{11} - a_{22}) - c\left[(a_{11} - a_{22})^{2} + 4a_{12}^{2}\right]^{1/2}\right] + 2(a_{11}a_{22} - a_{12})$$

$$= \left[c(a_{11} - a_{22}) - c\left[(a_{11} - a_{22})^{2} - 4a_{12}^{2}\right]^{1/2}\right] / 2(a_{11}a_{22} - a_{12}^{2})$$
(1.14)

Амилитудные векторы X^i ($i=1,\ 2$), отвечающие частотам w_i , суть ненулевые решения одноролных систем алгебраических уравнений

$$|C_{*} - \omega_{t}^{2} A(t)| X^{i} = 0 \tag{1.15}$$

Ненулевые решения (1.15) имеют следующий вид:

$$X^{i} = \left(\frac{c - \omega_{i}^{2} \alpha_{11}}{a_{12}}\right) \qquad i = 1, 2$$
 (1.16)

Искомое асимптотическое решение порвого приближения системы (1.12) имеет вид

$$\Theta(\tau) = \sum_{i=1}^{\infty} X^i k_i \cos \gamma_i \tag{1.17}$$

где амилитуды k_t и фазы γ_t определяются из системы дифференциальных уравнений

$$\frac{dk_{l}}{dz} = -\frac{\varepsilon k_{l}}{2m_{l}(t)\omega_{l}(t)} \frac{d[m_{l}(t)\omega_{l}(t)]}{dt} \cdot \frac{d\tau_{l}}{dz} = \omega_{l}(t)$$
 (1.18)

Здесь введено обозначение: $m_i(t) = (A(t)X^i, X^i), i=1, 2.$ Интегрируя выражение (1.18) при фиксированном t, получим

$$k_{\ell} = k_{\ell 0} \left[\frac{m_{\ell}(0) \omega_{\ell}(0)}{m_{\ell}(t) \omega_{\ell}(t)} \right]^{1/2}; \quad \gamma_{\ell} = \frac{1}{2} \int_{0}^{t} \omega_{\ell}(t_{1}) dt_{1} + \gamma_{\ell 0}, \quad \ell = 1, \quad 2$$
 (1.19)

Используя представления (1.7) и (1.9), произвольные постоянные $k_{\rm th}$ и γ_{t0} можно определить из системы влеебранческих уравнений

$$\overline{\Psi}_{\nu}(0) = \sum_{i=1}^{2} X^{i}(0)k_{i0}\cos\gamma_{i0} = e^{-2i\Psi}(0), \quad e^{-1}\sum_{i=1}^{2} X^{i}(0)\omega_{i}(0)k_{i0}\sin\gamma_{i0} - e^{-2i\Psi}(0)$$
(1.20)

где $\Psi(0)$ и $\Psi(0)$ предполагаются заданными в начальный момент времени t=0. На (1.20) следует, что начальные данные должны иметь следующие порядки малости: $\Psi(0) \sim z^2$, $\Psi(0) \sim z$. Определители систем (1.20) не равны нулю в силу липейной независимости векторов X^t , поэтому системы (1.20) разрешимы относительно постоянных $\gamma_{(0)}$, t=1, 2.

Управляющие силы F_1 , F_2 и момент M при заданных $\varphi(t)$, l(t), z(t) и $\alpha(t)$, $\beta(t)$ определяются из уравнения Лагранжа, описывающего движение рассматриваемой механической системы. Углы $\alpha(t)$, $\beta(t)$, силы F_1 , F_2 и момент M состоят из двух слагаемых "медленных" или квазистатических и "быстрых". Медленные слагаемые могут быть

вычислены на основе жесткой модели. Для расчета быстрых слагаемых требуется определить собственные упругие колебания манинулятора.

2. Рассматривается движение манипулятора «Циклоп» в вертикальной плоскости и колебания стрелы относительно оси OX, то есть $\varphi = 0$; $\beta(t) = 0$; I(t) = const; z = z(t); $\alpha = \alpha(t)$.

Формулы (1.11), определяющие кваристатическое упругое смещение, принимают в этом случае вид

$$\bar{s}_{s}(t) = -c_{s}^{-1}b_{s}(t)$$
 (2.1)

где $b_1(t) = mr_{y_1}z$ $m_1 = m_1t + mgr_{y_1}$ —заданная функция времени, определяемая из жесткой модели манипулятора. Уравнение (1.12), описывающее упругие колебания стрелы манипулятора, в рассматриваемом случае является дифференциальным уравнением второго порядка с постоянными коэффициентами, решение котерого при начальных условиях $t=0:\sigma_*(0)=(mgr_{y_1}+m_1rt)/c$ (0)=0 имеет вид

$$\Theta(\tau) = A\sin\left(\omega\tau + \phi\right) \tag{2.2}$$

Здесь
$$A = (mr_{y_1} + m.l) z(0)/c_*; \quad w = (c_*/a_{11})^{1/*}, \quad b = \frac{\pi}{2}$$

$$a_{11} = l_{11} + m_1(b^2 + l^2) + J_{11}$$
 (2.3)

Для натурного образца промышленного робота «Циклон-3Б» компоненты матрицы жесткости С с точностью до 15% определяются из статического эксперимента [8,9]. В данном случае

$$c_* = 2.8 \cdot 10^6 \, \text{H.M} \tag{2.4}$$

Измеряя геометрические характеристики частей робота 3—7 и считая по известным формулам массы всех частей и положение центра масс [10], получаем

$$m_l = v_l \rho_l, \ R = \sum_{i=3}^n r_i m_i / \sum_{i=3}^n m_i; \quad n = 7$$
 (2.5)

где v_t -объем каждой части, ρ_t -плотность материала, R-радиус-вектор центра масс системы 3-6. r_t -радиус-вектор центра масс каждой части.

В результате расчетов получим

$$m = 93 \text{ Kr}, m_1 = 6.3 \text{ Kr}. R = (-2.5, 45) \text{ CM}. R_1 = (31, 84, 52) \text{ CM}$$
 (2.6)

Считая собственную частоту упругих колебаний по формуле (1.13), получим $v = \omega l 2\pi = 7$ гв.

Вертикальное движение жесткой модели манипулятора можно задавать следующим образом. Уравнение сертикального движения имеет вид

$$(m+m_1)z=F_2-(m+m_1)g$$

Обозначим $[F_2-(m_1+m)g]/(m+m_1)=\Phi$, получим:

$$z = \Phi$$
; $|\Phi| \leq \Phi_0$

Законы изменения Ф можно заданать различными способами. Некоторые стандартные законы изменения ускорений представлены на фиг. 2.

Изменение ускорений, представленных сплошными линиями, описывается следующим образом:

$$\Phi = \frac{1}{2} \frac{2\Phi_0 t/T; \quad 0 < t < T/2}{2\Phi_0 (T - t)/T; \quad T/2 \le t \le T}$$
 (2.8)

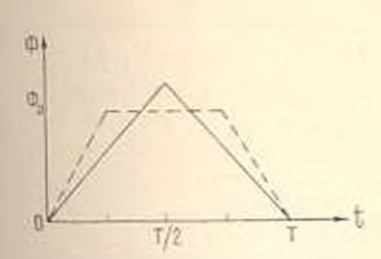
rae $T=2(\Delta z/\Phi_0)^{1/2}$; $\Delta z=z_T-z_0$.

Для промышленного роботв «Циклон» время вертикального движения T=0.6 с. максимальное перемещение по вертикали $\Delta z=0.2$ м, в максимальное ускорение равно $\Phi_0{\simeq}2.22$ м/с².

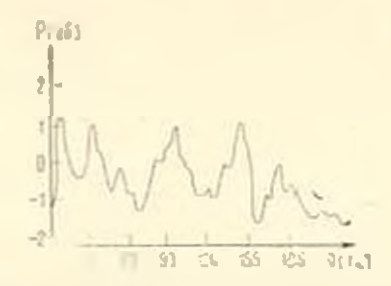
Квазистатическое упругое смещение 2.(1), определяемое из (2.1) с учетом (2.4), (2.6)—(2.8), можно представить в следующем виле:

$$a_{\bullet}(t) = -\frac{1}{2} (m_1 t + m r_{y_1}) - \frac{1}{2} (m_1 t \cdot m r_{y_2}) \begin{cases} 2\Phi_0 t/T; & 0 < t < \frac{T}{2} \\ 2\Phi_0 (T - t)/T; & \frac{T}{2} \end{cases}$$
(2.9)

Все величины, входящие в (2.9), определены.



Фиг. 2. Законы изменения ускорений вертикального движения стрелы манипулятора «Циклоя».



Фиг 3. Спектр мошности упругих колебаний в вертикальной плоскости.

Для рассматриваемого случая (движение в вертикальной плоскости и колебания стрелы относительно оси СГХ) приведем результаты динамического экспериментального исследования, которые подробно описаны в работе [8]. В результате экспериментов получены спектры мощности упругих колебаний в вертикальной плоскости (фиг. 3). Из спектра видно, что низшая резонансиая частоть упругих колебаний схвата робота «Циклон» с точностью до определения компонент матрицы жесткости С и инерционных характеристик (классы манипулятора, центра масс, момента инерции) равна расчетному значению, которое приведено выше.

Сложный характер полученного спектра колебаний объясняется

взаимодействием многих факторов: упругостью конструкции манипулятора, влиянием демиферов, ограничителей движения, устанавливаемых в конечных положениях, податливостью прокладок между поршиями и пилиидрами, влиянием ноглушной подушки приводов и другими.

Заключение. Предложенный подход в работах [1, 2] и полученные общие формулы для описания динамики упругого маинпулятора (извенного) при некоторых конкретных предположениях (углы упругой податливости малы, жесткость манипулятора велика, управляющие силы и моменты конечны), описывают динамику ПР гипа «Циклон» с учетом его упругих свойств. В случае кинематического управления асимптотическим методом разделения дъижений получены замкнутые формулы, определяющие квазистатические упругие смещения и быстрые упругие колебания стрелы манипулятора. Приведены результаты экспериментального исследования (статического и динамического) для ПР типа «Циклон» [8]. Результаты экспериментального исследования для рассматринаемого частного случая (и 2) сравнимы (в рамках приближенной принятой модели манипулятора) с результатами расчетов.

Авторы благолярят Ф. Л. Черноусько за постановку задачи, а также Л. Д. Акуленко и Н. Н. Болотинка за полезные замечания.

ԱՌԱՉԳԱԿԱՆ ՀԱՏԿՈՒԹՅՈՒՆՆԵՐԻ ՀԱՇՎԱՌՈՒՄՈՎ «ՑԻԿԼՈՆ» ՄՈԴԵԼԻ ԱՐԴՅՈՒՆԱԲԵՐԱԿԱՆ ՄԱՆԻՊՈՒԼՅԱՏՈՐԻ ՇԱՐԺՄԱՆ ԳԻՆԱՄԻԿԱՆ

Ա. Ա. ՎՈՒԿԱՍՅԱՆ, Ս. Ե. ԳՐՈՒԳԵՎ

Ամփոփում

Ուսումնասիրվում է «Ցիկլոն» մողելի արդյունարերական մանիպուլյատորի միացման օղակի առաձգական ենքյարկվողության ազդեցությունը Նրա դիհամիկական բնութագրիլների վրաւ Մանիպուլյատորը ունի երեք աղատության աստիճան, որը Համապատասիանում է լիսեռի ուղղաձիդ առանցքի ուղղությամբ շարժմանը, նրա պաույտին ուղղաձիդ առանցքի շուրչը և սլաբի

Կինեմատիկական ղեկավարման դեպրում շարժման անջատման ասիմպտոտիկական եղանակով ստացված են փակ լուծումներ, սրոնը որոշում են թվաղիստատիկ առաձդական տեղափոխությունները և մանիպուլյատորի սլաբի արագ առաձղական տատանումները։ Բերված են «Ցիկլոն» մողելի արգյունաբերական մանիպուլյատորի փորձնական (ստատիկ և դինամիկ) հետաղոտությունների արդյունըները։

ON THE DYNAMICS OF AN INDUSTRIAL ROBOT OF TZICKLON* TYPE

A. A. GUKASIAN, A. I. GRUDYEV

Summary

The influence of the elasticity of the joint of the industrial manipulating robot "Tzicklon" on its dynamics is investigated. The manipulator has three degrees of freedom which correspond to the vertical translation of the spindle, its rotation about the vertical axis and the translation of the arm along the guide.

In case of kinematic control formulae for determining quasistatic elastic displacements and fast oscillations of the arm of the manipulator are obtained in closed form by means of asympthotic methods. Expressions for additional control forces and torques taking into account elastic properties of the system are obtained. Some results of experimental investigation of elastic properties of the robot "Tzickion" are presented.

ЛИТЕРАТУРА

- 1. Черноусько Ф. Л. Динамика управляемых движений упругого манинулятора.—Изи. АН СССР, Техи. кибернетика, 1981. № 5, с. 142—152.
- Черноусько Ф. Л. Динамика систем с упругими элементами большой жесткости.

 Изв. АН СССР, МТТ, 1983, № 4, с. 101—113.
- 3. Акцаенко Л. Д., Михайлов С. А., Черноусько Ф. Л. Моделирование динамики манинулятора с упругими свойствами.—Изв. АН СССР, Техн. киберистика, 1981, № 5, с. 131—141.
- 4. Акуленко Л. Д. Болотнах И. И. Об управляемом вращении упругого стержия.
 ПММ, 1982, т. 16, вып. 4, с. 587—595.
- Гукасям А. А. Исследование увравляемых движений упругого манинулятора с тремя степенями подвижности.—Пли АН Арм. ССР, Механика 1983, т. по. № 3, с. 13—20
- б. Акуленко Л. Д., Гукавли А. А. Управление плоскими движениями упругого звема манинулятора.—Илв. АН СССР, МТТ, 1983, № 5. с. 33—41.
- Вукобратович М., Поткопик В. Численный метод моделирования динамики машипулятора с упругими свойствами —Изв. АН СССР, Техи. киберпетика, 1981. № 5. с. 131—141.
- 8. Черноусько Ф. Л., Градецкий В. Г., Гукасян А. А., Вешников В. Б., Самослян К. В., Степанов В. П., Шушко Д. А. Анализ упругой податливости конструкции чанипуляционных роботов. Препринт № 231. ИПМ АП СССР М.: 1984.
- Гукасян А. А. Экспериментольные неследования упругих и жесткостных характеристик механизмов промышленных роботов Тезнеы докл. Всесоюзной школы нолодых ученых и специалистов во проблемам оптимизации в машиностроении. Харьков — Алушта: Пад-во Харьковского политехнического ин-та. 1983, с. 11.
- 10. Айзернан М. А. Классическая механика. М.: Наука, 1980.
- 11. Митропольский Ю. А. Проблемы асимптотической теории исстационарных колебаний. М.: Наука, 1960.

Ивститут проблем механики АН СССР, Ивститут механики АН Арм, ССР